

Московский физико-технический институт
(государственный университет)

Лабораторная работа по электричеству

Измерение магнитного поля Земли [3.1.3]

Талашкевич Даниил Александрович
Группа Б01-009

Долгопрудный
2021

Содержание

1	Аннотация	1
2	Теоретические сведения	1
2.1	Спектральный анализ электрических сигналов	1
2.2	Периодическая последовательность прямоугольных импульсов	3
2.3	Периодическая последовательность цугов	4
2.4	Амплитудно-модулированные колебания.	5
3	Экспериментальное оборудование и методика измерений	6
4	Ход работы	6
5	Вывод	6
6	Литература	6

1 Аннотация

В работе изучается спектральный состав периодических электрических сигналов различной формы: последовательности прямоугольных импульсов, последовательности цугов и амплитудно модулированных гармонических колебаний. Спектры этих сигналов наблюдаются с помощью промышленного анализатора спектра и сравниваются с рассчитанными теоретически.

2 Теоретические сведения

Сколь угодно сложный электрический сигнал $V(t)$ может быть разложен на более простые сигналы. В радиотехнике широко используется разложение сигнала $V(t)$ на совокупность гармонических сигналов различных частот ω . Функция $F(\omega)$, описывающая зависимость амплитуд отдельных гармоник от частоты, называется амплитудной спектральной характеристикой сигнала $V(t)$. Представление сложного периодического сигнала в виде суммы дискретных гармонических сигналов в математике называется разложением в ряд Фурье.

Зная спектральный состав $F(\omega)$ периодической последовательности некоторого импульса $V(t)$, мы можем осуществить обратное преобразование Фурье: сложив отдельные гармоники со своими амплитудами и фазами, получить необходимую последовательность импульсов. Степень совпадения полученного сигнала с $V(t)$ определяется количеством синтезированных гармоник: чем их больше, тем лучше совпадение. Рассмотрим конкретные примеры периодических функции, которые будут предметом исследования в нашей работе.

Рассмотрим конкретные примеры периодических функций, которые будут предметом исследования в нашей работе.

2.1 Спектральный анализ электрических сигналов

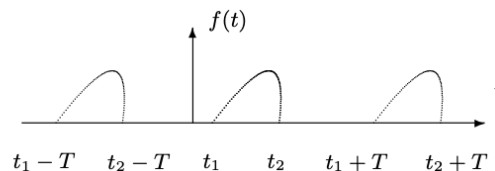


Рис. П.1. График периодической функции с периодом повторения T

Пусть заданная функция $f(t)$ периодически повторяется с частотой $\Omega_1 = 2\pi/T$, где T – период повторения (рис. П.1). Её разложение в ряд Фурье имеет вид

$$f(t) = \frac{a_0}{2} + \sum_{n=1}^{\infty} [a_n \cos(n\Omega_1 t) + b_n \sin(n\Omega_1 t)]$$

или

$$f(t) = \frac{A_0}{2} + \sum_{n=1}^{\infty} A_n \cos(n\Omega_1 t - \psi_n)$$

Здесь $a_0/2 = A_0/2$ – постоянная составляющая (среднее значение) функции $f(t)$; a_n и b_n – амплитуды косинусных и синусных членов разложения. Они определяются выражениями

$$a_n = \frac{2}{T} \int_{t_1}^{t_1+T} f(t) \cos(n\Omega_1 t) dt$$

$$b_n = \frac{2}{T} \int_{t_1}^{t_1+T} f(t) \sin(n\Omega_1 t) dt$$

Точку начала интегрирования t_1 можно выбрать произвольно. В тех случаях, когда сигнал четен относительно $t = 0$, в тригонометрической записи остаются только косинусные члены, т.к. все коэффициенты b_n обращаются в нуль. Для нечетной относительно $t = 0$ функции, наоборот, ряд состоит только из синусных членов.

Амплитуда A_n и фаза ψ_n -й гармоники выражаются через a_n и b_n следующим образом:

$$A_n = \sqrt{a_n^2 + b_n^2}; \quad \psi_n = \arctg \frac{b_n}{a_n}$$

Как мы видим, спектр любой периодической функции состоит из набора гармонических колебаний с дискретными частотами: $\Omega_1, 2\Omega_1, 3\Omega_1 \dots$ и постоянной составляющей, которую можно рассматривать как колебание с нулевой частотой ($0 \cdot \Omega_1$).

Представим выражение в комплексной форме. Для этого заменим косинусы экспонентами в соответствии с формулой

$$\cos \alpha = \frac{e^{i\alpha} + e^{-i\alpha}}{2}$$

Подстановка даёт

$$f(t) = \frac{1}{2} \left(A_0 + \sum_{n=1}^{\infty} A_n e^{-i\psi_n} e^{in\Omega_1 t} + \sum_{n=1}^{\infty} A_n e^{i\psi_n} e^{-in\Omega_1 t} \right)$$

Введём комплексные амплитуды \tilde{A}_n и \tilde{A}_{-n}

$$\tilde{A}_n = A_n e^{-i\psi_n}; \quad \tilde{A}_{-n} = A_n e^{i\psi_n}; \quad \tilde{A}_0 = A_0$$

Разложение $f(t)$ приобретает вид

$$f(t) = \frac{1}{2} \sum_{n=-\infty}^{\infty} \tilde{A}_n e^{in\Omega_1 t}$$

Как мы видим, введение отрицательных частот (типа $n\Omega_1$) позволяет записать разложение Фурье особенно простым образом.

Для расчёта комплексных амплитуд A_n умножим левую и правую части на $e^{-ik\Omega_1 t}$ и проинтегрируем полученное равенство по времени на отрезке, равном одному периоду, например, от $t_1 = 0$ до $t_2 = 2\pi/\Omega_1$. В правой части обратятся в нуль все члены, кроме одного, соответствующего $n = k$. Этот член даёт $A_k T/2$. Имеем поэтому

$$A_k = \frac{2}{T} \int_0^T f(t) e^{-ik\Omega_1 t} dt$$

Рассмотрим периодические функции, которые исследуются в нашей работе.

2.2 Периодическая последовательность прямоугольных импульсов

С амплитудой V_0 , длительностью τ , частотой повторения $f_{\text{повт}} = 1/T$, где T — период повторения импульсов.

Среднее значение

$$\langle V \rangle = \frac{a_0}{2} = \frac{A_0}{2} = \frac{1}{T} \int_{-\tau/2}^{\tau/2} V_0 dt = V_0 \frac{\tau}{T}$$

Амплитуды косинусных составляющих равны

$$a_n = \frac{2}{T} \int_{-\tau/2}^{\tau/2} V_0 \cos(n\Omega_1 t) dt = 2V_0 \frac{\tau}{T} \frac{\sin(n\Omega_1 \tau/2)}{n\Omega_1 \tau/2} \sim \frac{\sin x}{x}$$

Поскольку наша функция чётная, все амплитуды синусоидальных гармоник $b_n = 0$. Спектр $F(\nu)$ последовательности прямоугольных импульсов представлен на рис. П.3. Амплитуды гармоник A_n меняются по Закону $(\sin x)/x$. На рис. П.3 изображён спектр для случая, когда T кратно τ . Назовём шириной спектра $\Delta\omega$ (или $\Delta\nu$) расстояние от главного максимума ($\nu = 0$) до первого нуля, возникающего, как нетрудно убедиться, при $\Omega_1 = 2\pi/\tau$. При этом

$$\Delta\omega\tau \simeq 2\pi \quad \text{или} \quad \Delta\nu\Delta t \simeq 1$$

Полученное соотношение взаимной связи интервалов $\Delta\nu$ и Δt является частным случаем соотношения неопределенности в квантовой механике. Несовместимость острой локализации волнового процесса во времени с узким спектром частот - явление широко известное в радиотехнике. Ширина селективной настройки $\Delta\nu$ радиоприёмника ограничивает приём радиосигналов длительностью $t < 1/\Delta\nu$

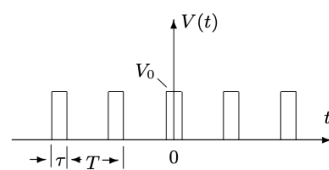


Рис. П.2. Периодическая последовательность прямоугольных импульсов

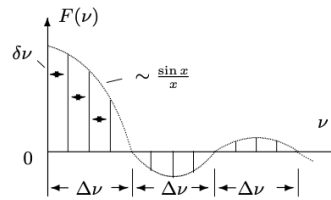


Рис. П.3. Спектр периодической последовательности прямоугольных импульсов

2.3 Периодическая последовательность цугов

Гармонического колебания $V_0 \cos(\omega_0 t)$ с длительностью цуга τ и периодом повторения T (рис. П.4)

Функция $f(t)$ снова является чётной относительно $t = 0$. Амплитуда n -й гармоники равна

$$A_n = a_n = \frac{2}{T} \int_{-\tau/2}^{\tau/2} V_0 \cos(\omega_0 t) \cdot \cos(n\Omega_1 t) dt = \\ = V_0 \frac{\tau}{T} \left(\frac{\sin[(\omega_0 - n\Omega_1) \frac{\tau}{2}]}{(\omega_0 - n\Omega_1) \frac{\tau}{2}} + \frac{\sin[(\omega_0 + n\Omega_1) \frac{\tau}{2}]}{(\omega_0 + n\Omega_1) \frac{\tau}{2}} \right)$$

Такое спектральное распределение $F(\omega)$ для случая, когда $\frac{T}{\tau}$ равно целому числу, представлено на рис. П.5. Сравнивая спектр последовательности прямоугольных импульсов и спектр цугов (см. рис. П.3 и П.5), мы видим, что они аналогичны, но их максимумы сдвинуты по частоте на величину ω_0 .

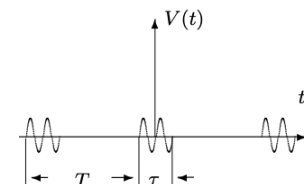


Рис. П.4. Периодическая последовательность цугов

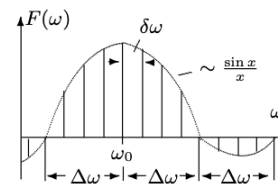


Рис. П.5. Спектр периодической последовательности цугов

2.4 Амплитудно-модулированные колебания.

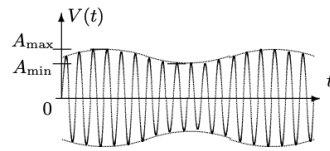


Рис. П.6. Гармонические колебания, модулированные по амплитуде

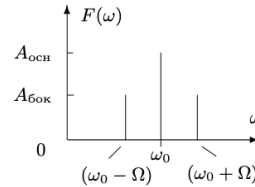


Рис. П.7. Спектр колебаний, модулированных по амплитуде

Рассмотрим гармонические колебания высокой частоты ω_0 , амплитуда которых медленно меняется по гармоническому закону с частотой Ω ($\Omega \ll \omega_0$) (рис. П.6):

$$f(t) = A_0[1 + m \cos(\Omega t)] \cos(\omega t)$$

Коэффициент m называют глубиной модуляции. При $m < 1$ амплитуда колебаний меняется от минимальной $A_{\min} = A_0(1 - m)$ до максимальной $A_{\max} = A_0(1 + m)$. Глубина модуляции может быть представлена в виде

$$m = \frac{A_{\max} - A_{\min}}{A_{\max} + A_{\min}}$$

Простым тригонометрическим преобразованием можно найти спектр амплитудно-модулированных колебаний:

$$\begin{aligned} f(t) &= A_0 \cos(\omega_0 t) + A_0 m \cos(\Omega t) \cos(\omega_0 t) = \\ &= A_0 \cos(\omega_0 t) + \frac{A_0 m}{2} \cos(\omega_0 + \Omega) t + \frac{A_0 m}{2} \cos(\omega_0 - \Omega) t \end{aligned}$$

Спектр $F(\omega)$ таких колебаний содержит три составляющих (рис. П. 7) Основная компонента представляет собой исходное немодулированное колебание с несущей частотой ω_0 и амплитудой $A_{\text{ос}} = A_0$ — первое слагаемое в правой части; боковые компоненты спектра соответствуют гармоническим колебаниям с частотами $(\omega_0 + \Omega)$ и $(\omega_0 - \Omega)$ — Второе и третье слагаемые. Амплитуды этих двух колебаний одинаковы и составляют $m/2$ от амплитуды немодулированного колебания: $A_{\text{бок}} = A_0 m/2$

3 Экспериментальное оборудование и методика измерений

4 Ход работы

5 Вывод

6 Литература

1. **Лабораторный практикум по общей физике:** Учебное пособие. В трех томах. Т. 2. Электричество и магнетизм /Гладун А.Д., Александров Д.А., Берулёва Н.С. и др.; Под ред. А.Д. Гладуна - М.: МФТИ, 2007. - 280 с.
2. **Данные о магнитном поле Земли:** www.rusmagnet.ru